

# ゲージヒッグス統一モデルにおける ヒッグス場のポテンシャルの 高次摂動における発散

山田篤幸 (名古屋大学)

共同研究者: 久野純治 (名古屋大学, KMI, IPMU)

2020/11/27

@素粒子現象論研究会 2020

# 発表内容

- ① イントロダクション
- ② セットアップ
- ③ 計算手法
- ④ 1, 2ループレベルでの有限性
- ⑤ 4ループレベルの発散
- ⑥ まとめ

# イントロダクション

- ① イントロダクション
- ② セットアップ
- ③ 計算手法
- ④ 1, 2ループレベルでの有限性
- ⑤ 4ループレベルの発散
- ⑥ まとめ

# イントロダクション

- 素粒子標準理論 (SM) のダイナミクス

## ゲージ原理

対称性 → 相互作用

SM:  $SU(3)_c \times SU(2)_L \times U(1)_Y$

しかし、ゲージ場の質量を禁止.

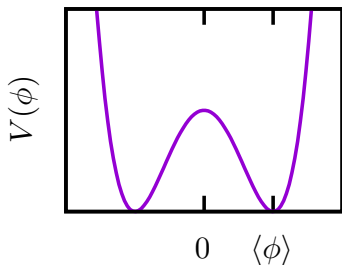
## ヒッグス機構

ヒッグス場の非零の真空期待値

(VEV) → 対称性の破れ,

ゲージ場の質量

フェルミオンの質量 → 湯川相互作用を用意.



# イントロダクション (2)

## ● ヒッグス場の質量補正

$$\delta m_h^2 = \text{---} \bigcirc \text{---} + \text{---} \bigcirc \text{---} + \text{---} \text{---} \text{---} + \dots \sim \Lambda^2$$

$$(125 \text{ GeV})^2 = \mathcal{O}((10^{18} \text{ GeV})^2) + \mathcal{O}((10^{18} \text{ GeV})^2)$$

$m_h^2$                        $m_0^2$                        $\delta m_h^2$

→ 30桁以上の微調整が必要.

# イントロダクション (3)

SM では説明できない:

- ヒッグスのワイン・ボトル型ポテンシャル
- 湯川相互作用 (自動的に現れるわけではない)

→ ヒッグス場の基本原理? 2次発散の解消?

ゲージ・ヒッグス統合模型

# イントロダクション (4)

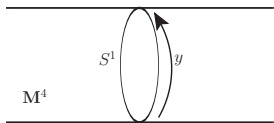
## ● ゲージ・ヒッグス統合 (GHU)

5次元時空  $M^4 \times S^1$  上の  
ゲージ理論を考える.

ゲージ場  $A_M(x, y)$ ,

$M = 0, 1, 2, 3, 5$ .

$R$ :  $S^1$  の半径.



$x$ : 4d ミンコフスキー時空の座標

$y$ : 円周  $S^1$  の座標  $\in [0, 2\pi R)$

## ゲージ・ヒッグス統合

ヒッグス場 = ゲージ場の余剰次元成分 ( $A_5$ ).

Aharonov-Bohm (AB) 位相  $\theta = g \oint_{S^1} dy A_5 = 2\pi R g \langle A_5 \rangle$ ,

$g$ : ゲージ結合定数.

# イントロダクション (5)

- 湯川相互作用はゲージ原理から得られる.

$$\mathcal{L}_{fermion} = \bar{\psi} i \gamma^M (\partial_M - i g A_M) \psi,$$

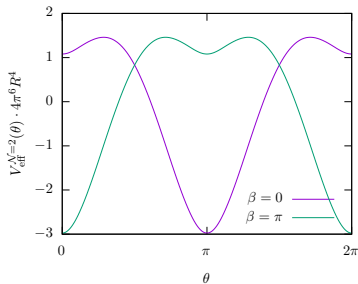
- ゲージ対称性によりツリー・レベルでポテンシャルはない。  
→ パラメータの微調整は必要なくなる (2次の項が書けない).  
→ 量子効果から有効ポテンシャルが生成 (細谷機構).

場の境界条件 ( $\beta \in [0, 2\pi)$ ):

$$\psi(x^\mu, y + 2\pi R) = e^{i\beta} \psi(x^\mu, y)$$

→ 境界条件 ( $\beta$ ) によってポテンシャルの概形が変化する.

非零の VEV を持つとき, 対称性が破れる (細谷機構).



# イントロダクション (6)

## ● ヒッグス・ポテンシャルの有限性

非可換ゲージ理論 @ one-loop:

- $SU(N)$  on  $\mathbf{M}^3 \times S^1$  [Hosotani, 1983]
- $SU(N)$  on  $\mathbf{M}^{d-1} \times S^1$  [Hosotani, 1989]
- 半単純群 on  $\mathbf{R}^3 \times S^1$  [Davies & McLachlan, 1989]

予想 [Gersdorff, Irges, Quiros, 2002; Hosotani, 2005]

GHU ではヒッグス・ボソンの有効ポテンシャル (ヒッグス・ポテンシャル)  $V_{eff}(\theta)$  は摂動の全次数で有限.

$d \geq 5$  次元以上のゲージ理論は繰り込み不可能.

→ 有限ならば, ヒッグスの質量  $m_h^2 \propto \frac{d^2 V_{eff}(\theta)}{d\theta^2}$  などに発散による不定性が現れず, 高い予言能力がある.

# イントロダクション (7)

- より高次での有限性の確認

$U(1)$  ゲージ理論 @ two-loop:

$\mathbf{M}^4 \times S^1$  [Maru & Yamashita, 2006; Hosotani et al., 2007]

- これまでの我々の結果 [J.Hisano, Y.Shoji, AY, 2019]

- $SU(N)$  on  $\mathbf{M}^4 \times S^1$  @ one/two-loop: 有限

- $SU(N)$  on  $\mathbf{M}^5 \times S^1$  @ three-loop: 発散

- 今回の発表内容

$SU(N)$  on  $\mathbf{M}^4 \times S^1$  @ four-loop: 発散

## “発散”の定義

$V_{eff}(\theta)$  がゲージ結合定数への相殺項で引き去れない発散に依存

GHU は高次元のゲージ理論 → 繰り込み不可能

無限に相殺項を加えられるので、有限個の相殺項で引き去れない発散があることを適当な基準で示す。

# 発表内容

- ① イントロダクション
- ② セットアップ
- ③ 計算手法
- ④ 1, 2ループレベルでの有限性
- ⑤ 4ループレベルの発散
- ⑥ まとめ

# セットアップ

- 5次元  $SU(N)$  ゲージ理論

$$\mathcal{L} = \mathcal{L}_{gauge} + \mathcal{L}_{fermion},$$

$$\mathcal{L}_{gauge} = -\frac{1}{4}F_{MN}^a F^{aMN},$$

$$\mathcal{L}_{fermion} = \bar{\psi} i \gamma^M (\partial_M - ig A_M) \psi,$$

$\langle A_5^a \rangle = \frac{\theta^a}{2\pi R g}$  としてヒッグス・ポテンシャルを計算する.

## セットアップ<sup>(2)</sup>

- 境界条件

$$A_M(x, y + 2\pi R) = A_M(x, y), \quad y \in [0, 2\pi R),$$

$$\psi(x, y + 2\pi R) = e^{i\beta} \psi(x, y), \quad \beta \in [0, 2\pi).$$

カルツァ・クライン (KK) モード展開:

$$A_M(x, y) = \sum_{n=-\infty}^{\infty} A_M^{(n)}(x) e^{iny/R},$$

$$\psi(x, y) = \sum_{n=-\infty}^{\infty} \psi^{(n)}(x) e^{i(n/R + \beta/2\pi R)y}.$$

# 発表内容

- ① イントロダクション
- ② セットアップ
- ③ 計算手法
- ④ 1, 2ループレベルでの有限性
- ⑤ 4ループレベルの発散
- ⑥ まとめ

# 計算手法

- ループ積分における困難


$$= -\frac{5}{2} \frac{1}{2\pi R} \sum_{n=-\infty}^{\infty} \int_{\mathbf{M}^4} \frac{d^4 k}{(2\pi)^4} \text{tr} \ln \left[ k^2 - \left( \frac{n}{R} + \frac{\theta^a T^a}{2\pi R} \right)^2 \right]$$

$T^a$ : 随伴行列

- ① 行列の対角化 → 大量のダイアグラム
- ② 積分の実行

→ よりシンプルに計算したい。

# 計算手法 (2)

## 重ね合わせコンパクト化

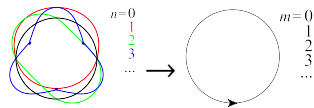
[Da Rold, 2003; Anber & Sulejmanpasic, 2015; Heffner & Reinhardt, 2015]

$$\frac{1}{2\pi R} \sum_{n=-\infty}^{\infty} \int_{\mathbf{M}^4} \frac{d^4 k}{(2\pi)^4} S\left(\frac{n}{R} + \frac{\Theta}{2\pi R}\right) = \sum_{m=-\infty}^{\infty} e^{i\Theta m} \int_{\mathbf{M}^5} \frac{d^5 k}{(2\pi)^5} e^{-i2\pi R k_5 m} S(k_5)$$

$S$ : 解析的関数 (ln など),  $\Theta$ : エルミート行列 ( $T^a$  など).

cf. Poisson resummation formula:

$$\sum_{n=-\infty}^{\infty} \delta\left(k_5 - \frac{n}{R}\right) = R \sum_{m=-\infty}^{\infty} e^{-i2\pi R k_5 m}$$



KK 展開  $\rightarrow$   $S^1$  を  $m$  周する自身との重ね合わせ ( $m$ : 巻き付き数)

ループ積分の再考:

$$\begin{aligned}
 \text{Sun Diagram} &= -\frac{5}{2} \frac{1}{2\pi R} \sum_{n=-\infty}^{\infty} \int_{\mathbf{M}^4} \frac{d^4 k}{(2\pi)^4} \text{tr} \ln \left[ k^2 - \left( \frac{n}{R} + \frac{\theta^a T^a}{2\pi R} \right)^2 \right] \\
 &= -\frac{5}{2} \sum_{m=-\infty}^{\infty} \text{tr} e^{i\theta^a T^a m} \int_{\mathbf{M}^5} \frac{d^5 k}{(2\pi)^5} e^{-i2\pi R k_5 m} \ln \left[ k^2 - (k_5)^2 \right] \\
 &= -\frac{3i}{128|m|^5 \pi^7 R^5} \quad (m \neq 0)
 \end{aligned}$$

# 計算手法 (4)

さらに、2ループ・レベルでは、

$$\begin{aligned}
 \text{Diagram} &= \frac{1}{2} \frac{1}{2\pi R} \sum_{n_1} \int \frac{d^4 p}{(2\pi)^4} \frac{1}{2\pi R} \sum_{n_2} \int \frac{d^4 k}{(2\pi)^4} \left[ \frac{-i\eta_{MN}}{p^2 - \left(\frac{n_1}{R} + \frac{\theta^c \tau^c}{2\pi R}\right)^2} \right]_{ab} \\
 &\times (-1) \text{tr} \left[ \frac{i}{\not{p} + \not{k} - \gamma_5 \left(\frac{n_1 + n_2}{R} + \frac{\theta^c \tau^c - \beta}{2\pi R}\right)} i g \gamma^M \tau^a \right. \\
 &\quad \left. \times \frac{i}{\not{k} - \gamma_5 \left(\frac{n_2}{R} + \frac{\theta^c \tau^c - \beta}{2\pi R}\right)} i g \gamma^N \tau^b \right].
 \end{aligned}$$

$$\begin{aligned}
 \text{Diagram} &= -6ig^2 \sum_{m_1, m_2} \left[ e^{i\theta^c T^c m_1} \right]_{ab} \text{tr} \left[ e^{i(\theta^c \tau^c - \beta)m_2} \tau^b \tau^a \right] \\
 &\quad \times \int \frac{d^5 p}{(2\pi)^5} \int \frac{d^5 k}{(2\pi)^5} e^{-i2\pi R(p_5 m_1 + k_5 m_2)} \\
 &\quad \times \frac{(p+k)^M k_M}{p^L p_L (p+k)^J (p+k)_J k^I k_I}.
 \end{aligned}$$

重ね合わせコンパクト化: 非常に強力!

# 発表内容

- ① イントロダクション
- ② セットアップ
- ③ 計算手法
- ④ 1, 2ループレベルでの有限性
- ⑤ 4ループレベルの発散
- ⑥ まとめ

# 1, 2ループレベルでの有限性

## ● 1ループレベル

[Hosotani, 1983, 1989; Davies & McLachlan, 1989]

$$V_{eff}^{1L} = -\frac{9}{256\pi^7 R^5} \sum_{m \neq 0} \frac{1}{|m|^5} \text{tr} e^{i\theta^a T^a m} + \frac{3}{64\pi^7 R^5} \sum_{\ell} \sum_{m \neq 0} \frac{1}{|m|^5} \text{tr} e^{i(\theta^a \tau_{\ell}^a - \beta_{\ell})m} + C$$

$\tau_{\ell}^a$ : フェルミオンの表現,  $\ell$ : フレーバーの添字,  
 $C$ :  $\theta$  非依存の定数 ( $m = 0$  の寄与).

# 1, 2ループレベルでの有限性 (2)

## ● 2ループレベル

$$V_{eff}^{2L}(\theta) = i \times \left( \text{Diagram 1} + \text{Diagram 2} + \text{Diagram 3} + \text{Diagram 4} \right)$$
$$= -3g^2 \sum_{\ell} \sum_{m_1, m_2} G_{\ell}(m_1, m_2) [2F(m_1)F(m_2) - F(m_1)F(m_1 - m_2)]$$
$$+ \frac{9}{4}g^2 \sum_{m_1, m_2} G_{adj}(m_1, m_2) F(m_1)F(m_2),$$

$$F(m) = \begin{cases} \frac{1}{64\pi^5 |m|^3 R^3} & (m \neq 0) \\ 0 & (m = 0) \end{cases}$$

$$G_{\ell}(m_1, m_2) = [e^{i\theta^c T^c m_1}]_{ba} \text{tr}[e^{i(\theta^c \tau_{\ell}^c - \beta)m_2} \tau_{\ell}^a \tau_{\ell}^b]$$

$$G_{adj}(m_1, m_2) = [e^{i\theta^c T^c m_1}]_{ba} \text{tr}[e^{i\theta^c T^c m_2} T^a T^b]$$

先行研究 [Maru & Yamashita, 2006; Hosotani et al., 2007] と整合的.

# 1, 2ループレベルでの有限性 (3)

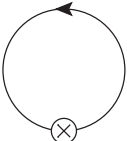
- なぜ有限になったか

- ヒッグス場は non-local operator;  $\theta = g \oint_{S^1} dy A_5$

→ ヒッグスを“感じる”には  $2\pi Rm$  だけ距離が必要;  $e^{-i2\pi Rk_5 m}$ .

→ ゼロ距離に由来する紫外発散が現れない.

# 1, 2ループレベルでの有限性 (4)

- からの寄与?

→ 波動関数繰り込みがプロパゲータの逆行列になり,  $\theta$  依存性を打ち消し合う;

$$\text{←} = \frac{i}{\not{p} - \gamma_5 \left( \frac{n}{R} + \frac{\theta^c \tau_l^c - \beta_\ell}{2\pi R} \right)}$$

$$\text{←} \otimes = i\delta_2 \left[ \not{p} - \gamma_5 \left( \frac{n}{R} + \frac{\theta^c \tau_l^c - \beta_\ell}{2\pi R} \right) \right].$$

# 発表内容

- ① イントロダクション
- ② セットアップ
- ③ 計算手法
- ④ 1, 2ループレベルでの有限性
- ⑤ 4ループレベルの発散
- ⑥ まとめ

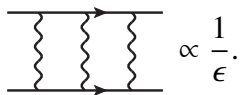
## 4ループレベルの発散

時空:  $\mathbf{M}^4 \times S^1$ , ゲージ群:  $SU(N)$ .

次元正則化で4フェルミ・オペレータを2ループ・レベルで計算.

→  $\theta$  に依存する 対数発散 として  $V_{\text{eff}}(\theta)$  に寄与することを確認.

e.g.



The diagram shows two horizontal fermion lines with arrows pointing to the right. Three vertical wavy lines (representing gauge bosons) connect the two fermion lines. The diagram is followed by the expression  $\propto \frac{1}{\epsilon}$ .

- 少なくともゲージ結合定数だけでは発散は消せない.
- どれだけの相殺項が必要か? [今後の課題]  
(有限個で足りる? 無限個いる?)

# まとめ

- 繰り込み不可能な理論でありながら、GHUにおいて、ヒッグス・ポテンシャルの有限性が2ループ・レベルまでで示されてきた。
- 一方で、より高次の摂動におけるヒッグス・ポテンシャルの発散の構造は明らかにされていない。
- 4フェルミ・オペレータが発散すると今回示され、ゲージ結合定数だけでは繰り込めない発散がヒッグス・ポテンシャルに少なくとも存在することがわかった。
- しかし、どのような相殺項を導入すれば発散を引き去れるのか(またはできないのか)、GHUにおけるヒッグス・ポテンシャルに関してわからないことはまだある。